

$\mathcal{N} = 2$ 超共形場理論の Giant graviton expansion

arXiv: to appear

(SM, Y. Imamura, T. Mori, S. Fujiwara, D. Yokoyama)

村山 修一

東京工業大学 素粒子理論研究室

2023/08/07 場の理論と弦理論 2023

今村氏, 森氏, 藤原氏, 横山氏との共同研究に基づく

Abstract

Abstract(一部抜粋)

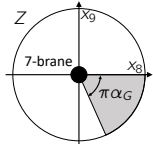
7-brane 背景上で構成される, 特定の $\mathcal{N} = 2$ 超共形場理論について, 超共形指数を Giant graviton expansionを用いて計算する.

本発表ではまず, 下線部の用語について解説していく.

D3 & 7-brane system

Z -plane に deficit angle $\pi\alpha_G$ を与え、原点に対称性 G を持つ 7-brane を挿入することで、 N 枚の D3-brane 上に $\mathcal{N} = 2$ 超対称性理論を構成できる。

[Aharony et al.(1998)]



$X, Y, Z \in \mathbb{C}$

	0	1	2	3	X	Y	Z
D3	✓	✓	✓	✓			
7	✓	✓	✓	✓	✓✓	✓✓	

構成できる CFT の系列

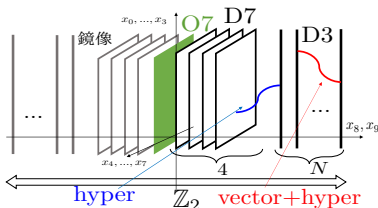
Type	α_G	G	Theory
H_0	$\frac{1}{3}$	None	
H_1	$\frac{1}{2}$	A_1	AD
H_2	$\frac{2}{3}$	A_2	
D_4	1	D_4	$Sp(N)$
E_6	$\frac{4}{3}$	E_6	
E_7	$\frac{3}{2}$	E_7	MN
E_8	$\frac{5}{6}$	E_8	

ここでは D_4 に注目して考える。

D_4 理論

D_4 の理論

- deficit angle $\pi \leftrightarrow$ Orientifold 理論
- 7-brane は O7-plane と RR-charge を打ち消すように入れられた 4 枚の D7-brane



D7-brane 上に $SO(8)$ global symm. が存在し, D3-brane 上に $Sp(N)$ gauge 理論が存在する.

理論に存在する状態は開弦の mode として見ることができる.

- ① $Sp(N)$ adjoint の vector multiplet
- ② $Sp(N)$ anti-symmetric の hyper multiplet
- ③ $Sp(N)$ fund. & D_4 fund. の hyper multiplet

超共形指数

超共形指数は、BPS 状態を数え上げる分配関数である。

[Römelsberger(2005)][Kinney et al.(2005)]

理論の持つ対称性 (右下は charge)

$$\frac{SO(2) \times SO(4)_{j_1,j_2}}{\text{共形対称性}} \times \frac{SO(4)_{R_x,R_y} \times SO(2)_{R_z}}{\text{R-対称性 & Flavor 対称性}} \times G$$

超共形指数

$$I = \text{tr} [(-1)^F q^{j_1} p^{j_2} x^{R_x} y^{R_y} z^{R_z}] \quad (qp = xyz \ (\therefore \text{BPS cond.}))$$

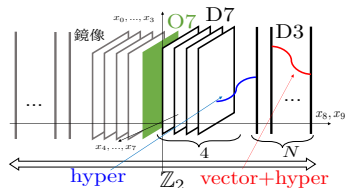
F : fermion 数 (Boson は even, Fermion は odd)

q, p, x, y, z : fugacities ($e^{-\text{chemical potential}}$)

D_4 理論の超共形指数

存在している状態がわかれば、超共形指数を直接(局所化)計算できる。

- ① 状態の持つ charge から、1粒子指数を得る。



$$① i_{\text{vec}} = 1 - \frac{(1+xy)(1-z)}{(1-q)(1-p)}$$

$$② i_{\text{hyp}'} = \frac{(x+y)(1-z)}{(1-q)(1-p)}$$

$$③ i_{\text{hyp}} = \frac{\sqrt{xy}(1-z)}{(1-q)(1-p)}$$

- ② character の形で gauge fugacities を追加し、Plethystic exponential (Pexp) で多粒子状態に

$$\text{Pexp}[f(x)] := \exp\left[\sum_{n=0}^{\infty} \frac{f(x^n)}{n}\right]$$

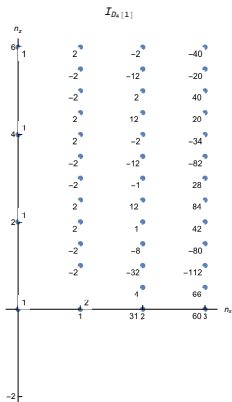
$$\text{Pexp}[i_{\text{vec}} \chi_{\text{adj}}^{Sp(N)} + i_{\text{hyp}'} \chi_{\text{a-}}^{Sp(N)} + i_{\text{hyp}} \chi_{\text{fund}}^{Sp(N)}]$$

- ③ Haar measure $[d\mu]$ をかけ gauge fugacities について周回積分することにより, gauge singlet を取り出す

$$I_{D_4[N]} = \int [d\mu] P \exp[i_{\text{vec}} \chi_{\text{adj}}^{Sp(N)} + i_{\text{hyp}} \chi_{\text{a-sym}}^{Sp(N)} + i_{\text{hyp}} \chi_{\text{fund}}^{Sp(N)}]$$

$y \rightarrow x, q, p \rightarrow x\sqrt{z}$ と変換して
 z の order (n_z) - x の order (n_x)
 で超共形指数を級数展開

$$\begin{aligned} I_{D_4[1]} &= (z^2 + z^4 + z^6 \dots) \\ &\quad + x(2 - 2z - 2z^{\frac{3}{2}} + \dots) \\ &\quad + \dots \end{aligned}$$



右図のように 2d plot で表すことにする。

AdS/CFT 対応

Brane 構成から、以下のような AdS/CFT 対応が考えられる。

[Fayyazuddin, Spalinski(1998)][Aharony et al.(1998)]

	0	1	2	3	X	Y	Z
D3	✓	✓	✓	✓			
7	✓	✓	✓	✓	✗	✗	

⇒

	0	1	2	3	4	X	Y	Z
						AdS_5		S^5
7	✓	✓	✓	✓	✓	✓	✓	✓

AdS/CFT 対応

AdS

$AdS_5 \times S^3$ に 7-brane が存在する,
 $AdS_5 \times S^5 / \mathbb{Z}_2$ 時空上の IIB 型超
弦理論

CFT

D_4 理論

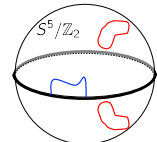


この AdS/CFT 対応において、両者の超共形指数の対応関係について調べる。

KK mode のみの超共形指数 (Large N limit)

理論が古典的な超重力理論 ($N \rightarrow \infty$) だと思えば、寄与は Kaluza-Klein(KK) mode のみであり、超共形指数は rank $N \rightarrow \infty$ の CFT のものと一致する。[Witten(1998)][Kinney et al.(2005)]

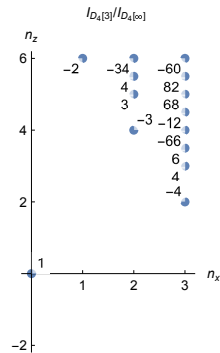
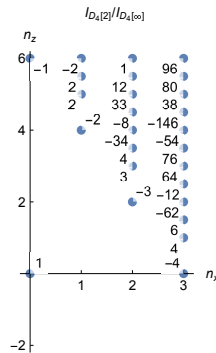
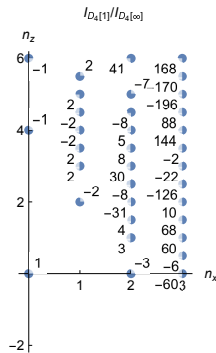
- ① Bulk KK mode (閉弦の mode)
- ② 7-brane 上の KK mode [Aharony et al(1998)]



超共形指数における AdS/CFT 対応

$$\begin{aligned} I_{D_4[\infty]} &= I_{\text{KK}} \\ &= P \exp \left[\frac{1}{2} \left(\frac{x}{1-x} + \frac{y}{1-y} + \frac{z}{1-z} - \frac{q}{1-q} - \frac{p}{1-p} \right) \right. \\ &\quad + \frac{1}{4} \left(\frac{(1+x)(1+y)(1-z)(1+q)(1+p)}{(1-x)(1-y)(1+z)(1-q)(1-p)} - 1 \right) \\ &\quad \left. + \frac{\chi_{28}^{D_4} xy(1-z)}{(1-p)(1-q)(1-x)(1-z)} \right] \end{aligned}$$

$$\frac{I_{D_4[N]}}{I_{KK}} \quad (N = 1, 2, 3)$$



rank N が大きくなるにつれ、Error は少なくなっていく
 $\Rightarrow N \rightarrow \infty$ で両者は一致 $\therefore I_{D_4[\infty]} = I_{KK}$

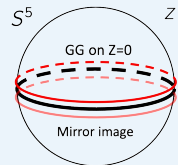
Giant graviton

N が有限の場合 (Finite N) は, Giant graviton の寄与が重要.

Giant graviton(GG)

時間 1 次元 (0 方向) とコンパクト空間の 3 次元に 3-cycle を巻くように広がる D3-brane [McGreevy,Susskind,Toumbas(2000)]

	0	1	2	3	4	X	Y	Z
								S^5
AdS ₅								
7	✓	✓	✓	✓	✓	✓✓	✓✓	
GG($Z = 0$)	✓					✓✓	✓✓	



大円に巻いた GG の charge R_z は $2N$ になる

$$R_z = \frac{N}{\pi^2} \int_{S^3} dx^3 \sqrt{g_{\text{3-cycle}}} = N \rightarrow \text{GG の指數} \propto z^{2N}$$

CFT 側では GG の寄与は determinant(BPS) とその modification に相当 [Gaiotto,Lee(2021)]

Giant graviton expansion

Finite N の指数 $I_{D_4[N]}$ と KK mode $I_{D_4[\infty]}$ との比は、 $Z = 0$ に巻いた n_z 枚の GG の寄与 $z^{2n_z N} F_{n_z}$ の和になっている。

Giant graviton expansion (Simple-sum)

$$\frac{I_{D_4[N]}}{I_{D_4[\infty]}} = \sum_{n_z=0}^{\infty} z^{2n_z N} F_{n_z}$$

F_{n_z} : fluctuation (GG 上の CFT から計算可)

Fluctuation と Analytic continuation

Fluctuation F_{n_z} の計算方法

- ① GG 上の CFT の 1 粒子指数を boundary CFT のように見做して計算

	0	1	2	3	X	Y	Z
GG	✓				✓	✓	
7	✓	✓	✓	✓	✗	✗	

\leftrightarrow

	0	1	2	3	X	Y	Z
D3	✓	✓	✓	✓			
7	✓	✓	✓	✓	✗	✗	

Brane construction は D_4 理論と変わらない (Self-dual)

$$I_{D_4[n_z]} = \int [d\mu] P \exp[i_{\text{vec}} \chi_{\text{adj}}^{Sp(n_z)} + i_{\text{hyp}} \chi_{\text{a-sym}}^{Sp(n_z)} + i_{\text{hyp}} \chi_{\text{fund}}^{Sp(n_z)}]$$

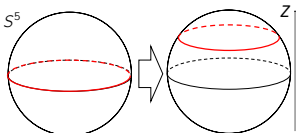
- ② GG 上の対称性になるように fugacity を変換
(boundary と見做して計算したものに戻す)

GG への変換演算子

$$\sigma_z : (q, p) \rightarrow (x, y), z \rightarrow z^{-1} \quad [\text{Arai,Imamura}(2019)]$$

$\sigma_z : (q, p) \rightarrow (x, y), z \rightarrow z^{-1}$ になる理由

- GG 上では座標 1, 2, 3 上の Spin 回転対称性 $SO(4)_{j_1, j_2}$ と座標 X, Y 上の内部対称性 $SO(4)_{R_x, R_y}$ が入れ替わっている
- z 方向への変化では GG の体積は減少する (tachyonic shift)



⑤ その際, P_{exp} は解析接続的に行う

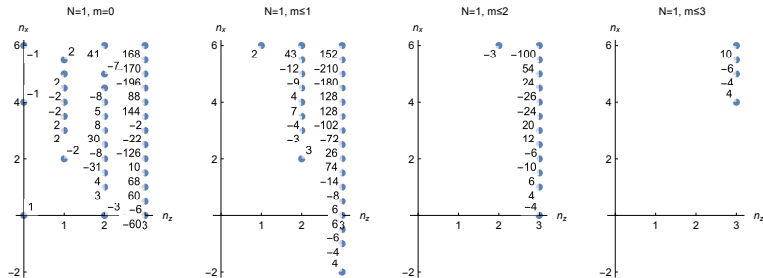
$$P_{\text{exp}}[x^{-1}] = \frac{1}{1-x^{-1}} \stackrel{!}{=} \frac{-x}{1-x} = -x - x^2 - x^3 + \dots$$

$$\therefore F_{m_z} = \sigma_z I_{D_4[n_z]}$$

$$= \sigma_z \left(\int [d\mu] P_{\text{exp}} [i_{\text{vec}} \chi_{\text{adj}}^{Sp(n_z)} + i_{\text{hyp}} \chi_{\text{a-sym}}^{Sp(n_z)} + i_{\text{hyp}} \chi_{\text{fund}}^{Sp(n_z)}] \right)$$

Numerical test (1)

$$I_{D_4[N]} / I_{D_4[\infty]} - \sum z^{2m} F_m$$



GG を足せば足すほど、 Finite N と Large N の間の Error は小さくなっていく

GG expansion が正しく再現できた！

D_4 以外の理論: AD 理論と MN 理論

D3-brane と 7-brane で構成できる
 CFT の系列の中で, H_0, H_1, H_2 は
 Argyres-Douglas(AD) 理論,
 E_6, E_7, E_8 は
 Minahan-Nemeschansky(MN) 理論
 と呼ばれる. [Ahalony et al.(1998)]

Type	α_G	G	Theory
H_0	$\frac{1}{3}$	None	
H_1	$\frac{1}{2}$	A_1	AD
H_2	$\frac{2}{3}$	A_2	
D_4	1	D_4	$Sp(N)$
E_6	$\frac{4}{3}$	E_6	
E_7	$\frac{3}{2}$	E_7	MN
E_8	$\frac{5}{6}$	E_8	

- どちらの理論も gauge 理論ではなく, 弦の mode から状態を知ることができない
- 超共形指数もごく一部しか計算できていない

N	H_0	H_1	H_2	D_4	E_6	E_7	E_8	\checkmark : a-maximization [Maruyoshi,Song(2016)]	\checkmark : Argyres-Seiberg duality [Gadde et al.(2010)]
1	✓	✓	✓	✓	✓	✓			
2				✓					[Agarwal, Maruyoshi, Song(2018)]
3				✓					

Argyres-Douglas 理論の GG expansion

gauge 理論でなくとも, $D_4[N]$ の GG expansion を応用すれば, 7 種の理論全てで GG expansion が得られるはず.

Type	α_G	G	Theory
H_0	$\frac{1}{3}$	None	
H_1	$\frac{1}{2}$	A_1	AD
H_2	$\frac{2}{3}$	A_2	
D_4	1	D_4	$Sp(N)$
E_6	$\frac{4}{3}$	E_6	
E_7	$\frac{3}{2}$	E_7	MN
E_8	$\frac{5}{6}$	E_8	

- 系列の中の理論同士の違いは deficit angle α_G の値と 7-brane 上の global symmetry G のみ
- Brane construction に大きな違いはない

系列の理論 $G[N]$ の GG expansion

7 種の理論全てで, D_4 理論と同様の GG expansion ができるはず

$$\frac{I_{G[N]}}{I_{G[\infty]}} = \sum_{n_z=0}^{\infty} z^{\frac{2n_z}{2-\alpha_G}} F_{n_z}$$

$Z = 0$ の GG は self-dual であり, Fluctuation は CFT 側の理論をもとに計算できる.

$G[N]$ の GG の Fluctuation

$$F_{n_z} = \sigma_z I_{G[n_z]}$$

超共形指数がまだ計算できていない理論もあるが, ある程度の order までなら

- 途中までの GG expansion

$$I_{G[\infty]} \sum_{n_z=0}^{N-1} z^{\frac{2n_z}{2-\alpha_G}} \sigma_z I_{G[n_z]}$$

- D_4 理論の指標 $I_{D_4[N]}$

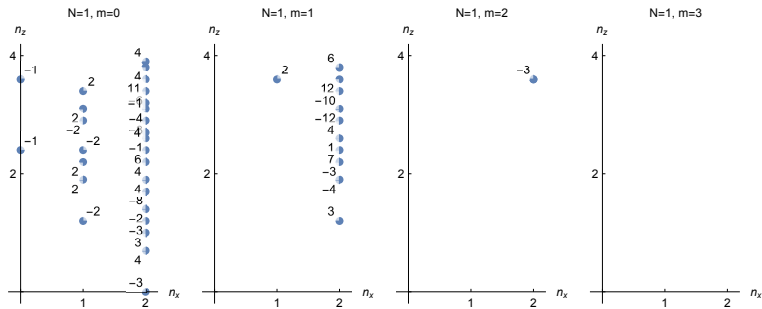
をもとに $I_{G[N]}$ を推測できる

N	H_0	H_1	H_2	D_4	E_6	E_7	E_8
1	✓	✓	✓	✓	✓	✓	✓
2				✓			
3				✓			

本研究では, x^2 まで指標を得ることができたため, GG expansion を確認する.

Numerical test (2)

$$I_{H_0[1]}/I_{H_0[\infty]} - \sum z^{\frac{6}{5}m} \sigma_z I_{H_0[m]}$$



GG expansion の形になっている！

- 7-brane により構成される $\mathcal{N} = 2$ 超共形場理論の超共形指数について, Giant graviton expansion の関係が成り立っていることを確認した.
- H_0 や H_1 といった Argyres-Douglis 理論についても, Giant graviton expansion の関係性が成り立つことを確認した.
- 系列の理論に対し, より高次まで超共形指数を Giant graviton expansion を介して計算することが今後の課題として挙げられる.

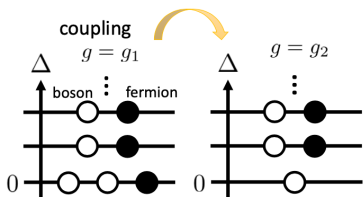
ご清聴ありがとうございました

超共形指数

超共形指数の特徴

- 超共形指数は分配関数のように、理論の operator spectrum の情報を持つ。
- 超共形指数は理論の結合定数に依存しない。

[Kinney,Maldacena,Minwalla,Raju(2005)]



結合定数が変化すると、boson と fermion が pair になって変化
 $\Delta \neq 0$ の状態は boson と fermion で cancel

$\Delta = 0$ の状態 \Leftrightarrow BPS 状態のみが寄与する

なんで一致しないの？

ランク N = 同時対角化できる, adjoint 表現の数
operator が N 回より多くかかった状態は, 独立な状態ではない！

eg) $U(2)$ (rank2) adjoint scalar の場合

$$\text{tr}(X^3) = \frac{3}{2}\text{tr}(X^2)\text{tr}X - \frac{1}{2}(\text{tr}X)^3 \quad \text{tr}(X^3) \text{ は独立ではない}$$

AdS 側で KK mode のみが寄与するのは, large N 極限だけ (関係式 : $L_{AdS}^4 I_p^{-4} = N$)

Finite N では, 何かしらの補正が必要

- CFT 側では, Finite N 補正は “determinant modification” として理解できる [Gaiotto, Lee (2021)]
- AdS 側の finite N での補正とは何か? → Giant graviton [Arai,Imamura(2019)]

Giant graviton expansion

Finite N の指数 $I_{D_4[N]}$ は、 KK mode の寄与 $I_{D_4[\infty]}$ に、 $\begin{cases} X = 0 \\ Y = 0 \\ Z = 0 \end{cases}$

に巻いた $\begin{pmatrix} n_x \\ n_y \\ n_z \end{pmatrix}$ 枚の GG の寄与 $x^{n_x N} y^{n_y N} z^{2n_z N} F_{n_x, n_y, n_z}$ を補正を加えて求められる。

Giant graviton expansion

$$\frac{I_{G[N]}}{I_{G[\infty]}} = \sum_{n_x, n_y, n_z=0}^{\infty} x^{n_x N} y^{n_y N} z^{2n_z N} F_{n_x, n_y, n_z}$$

F_{n_x, n_y, n_z} : fluctuation (GG 上の CFT から計算可)

Fluctuation と Analytic continuation

eg) Fluctuation $F_{n_x,0,0}$ の計算方法

- ① GG 上の CFT の 1 粒子指数を boundary CFT のように見做して計算

	0	1	2	3	X	Y	Z
GG	✓				✓	✓	
7	✓	✓	✓	✓	✓	✓	

 \rightarrow

	0	1	2	3	X	Y	Z
D3	✓	✓	✓	✓			
7	✓	✓			✓	✓	✓

$SO(4)_{j_1,j_2} \rightarrow SO(2)_{j_1} \times SO(2)_{j_2}$ に破れた $O(N)$ SCFT

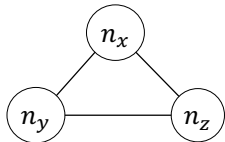
- ② GG 上の対称性になるように解析接続的に fugacity を変換
 $\sigma_x: (q, p) \leftrightarrow (y, z), x \rightarrow x^{-1}$ [Arai,Imamura(2019)]
- ③ 解析接続的に Pexp して多粒子状態も取得

$$\text{Pexp}[f(x)] := \exp\left[\sum_{n=0}^{\infty} \frac{f(x^n)}{n}\right]$$

$$\text{Pexp}[x^{-1}] = \frac{1}{1-x^{-1}} = \frac{-x}{1-x} = -x - x^2 - x^3 + \dots$$

Multiple-sum と simple-sum

複数方向に跨った GG の fluctuation の計算は難しい



- 解析接続をどう取ればいいかが難しい
- $SO(8)$ triality が再現できない

しかし、級数展開の中で指数が 0 となる GG が 2 種類あれば、1 方向の GG だけの級数で簡単に指数を計算できる

Simple-sum expansion

$$\frac{I_{G[N]}}{I_{G[\infty]}} = \sum_{n_x, n_y, n_z=0}^{\infty} x^{n_x N} F_{n_x, 0, 0}$$

まずは $F_{1,0,0}, F_{0,1,0}, F_{0,0,1}$ を計算して、Simple-sum になるかどうかを確認したい

GG の Fluctuation mode

$F_{m,0,0}, F_{0,m,0}$ GG 上の CFT($\tilde{D}_4[m]$) の gauge 群は $O(m)$

	0	1	2	3	X	Y	Z		0	1	2	3	X	Y	Z
GG	✓				✓	✓		→	✓	✓	✓	✓			
7	✓	✓	✓	✓	✓	✓			✓	✓			✓	✓	✓

$$F_{m,0,0} = \sigma_x I_{\tilde{D}_4[m]}$$

$$= \sigma_x \left(\int [d\mu] \text{Pexp}[f_{\text{even}} \chi_{\text{sym}}^{O(m)} + f_{\text{odd}} \chi_{\text{a-sym}}^{O(m)} + \chi_{\mathbf{28}}^{D_4} f_{3-7} \chi_{\text{fund}}^{O(m)}] \right)$$

級数展開の中で指数が 0 となるかどうかは, gauge 群の Cartan part を見て判別する

$F_{m,0,0}$ の Cartan part

$$\text{Pexp} \left[m \frac{(x^{-1} - 1)(1 - q)(1 - p)}{(1 - y^2)(1 - z)} \right] = \text{Pexp} \left[m \sum_{n_y, n_z=0}^{\infty} x^{-1} y^{n_y} z^{2n_z} + \dots \right]$$

$F_{1,0,0}$ と $F_{0,1,0}$ は $SO(4)$ 対称性により $x \leftrightarrow y$ で入れ替えられる

$F_{0,0,m}$ GG は O7-plane に並行

CFT($D_4[m]$) は boundary と同じ $Sp(m)$

	0	1	2	3	X	Y	Z	
GG	✓				✓	✓		
7	✓	✓	✓	✓	✓	✓		

 \rightarrow

	0	1	2	3	X	Y	Z	
D3	✓	✓	✓	✓				
7	✓	✓	✓	✓	✓	✓		

Brane construction は変わらない (Self-dual)

$$F_{0,0,m} = \sigma_z I_{D_4[m]}$$

$$= \sigma_z \left(\int [d\mu] \text{Pexp}[f_{\text{odd}} \chi_{\text{sym}}^{Sp(m)} + f_{\text{even}} \chi_{\text{a-sym}}^{Sp(m)} + \chi_{\mathbf{28}}^{D_4} f_{\text{hyp}} \chi_{\text{fund}}^{Sp(m)}] \right)$$

$F_{0,0,m}$ の Cartan part

$$\text{Pexp} \left[m \frac{(z^{-1} - 1)(1 + xy)(1 - q)(1 - p)}{(1 - x^2)(1 - y^2)} \right] = \text{Pexp} \left[m \sum_{n_x, n_y=0}^{\infty} z^{-1} x^{n_x} y^{n_y} + \dots \right]$$

Simple-sum

級数展開の仕方で、Fluctuation は 0 になりうる

eg) $F_{1,0,0}$ を y で級数展開

$$\begin{aligned} F_{1,0,0} &= \text{Pexp}\left[\sum_{n_z=0}^{\infty} x^{-1} y^0 z^{2n_z} + \mathcal{O}(y^{\frac{1}{2}})\right] \\ &= y^0 \prod_{n_z=0}^{\infty} \frac{-xz^{-2n_z}}{1-xz^{-2n_z}} \propto x^{\infty} = 0 \end{aligned}$$

① x で展開すると $F_{0,1,0}, F_{0,0,1} \rightarrow 0$ に,

② z で展開すると $F_{1,0,0}, F_{0,1,0} \rightarrow 0$ に

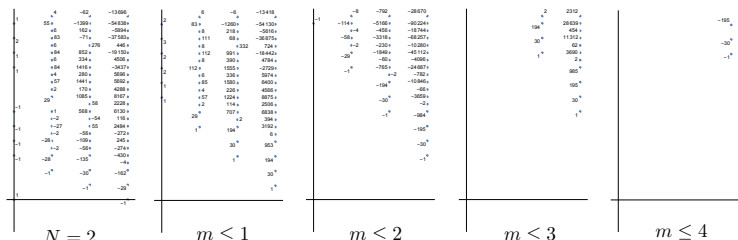
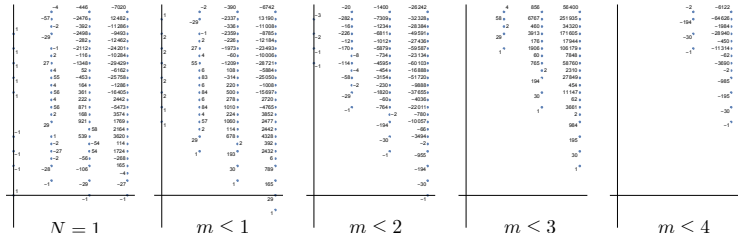
結論として、2 種類の simple-sum expansion が得られる

Simple-sum expansion

$$\begin{aligned} I_{D_4[N]}/I_{D_4[\infty]} &= \sum_{n_x=0}^{\infty} x^{n_x N} F_{n_x,0,0} \\ &= \sum_{n_x=0}^{\infty} z^{2n_x N} F_{0,0,n_x} \end{aligned}$$

Numerical test of x-y direciton

$$\textcircled{1} \quad I_{D_4[N]} / I_{D_4[\infty]} - \sum x^m F_{m,0,0} \quad (z \rightarrow y \text{ として } x-y \text{ で展開})$$



Giant graviton dual

逆に, $AdS_3 \times S^5$ 上の 7-brane を考えれば, $O(N)$ CFT ($\tilde{D}_4[N]$) の GG expansion が得られる.

	0	1	2	3	X	Y	Z
D3	✓	✓	✓	✓			
7	✓	✓			✓	✓	✓

GG 上の CFT はいずれも $D_4[N]$

$D_4[N]$ と同様の議論により, GG expansion は Simple-sum で書ける

$\tilde{D}_4[N]$ の GG expansion

$$I_{\tilde{D}_4[N]} / I_{\tilde{D}_4[\infty]} = \sum_{n_x=0}^{\infty} x^{n_x} \sigma_x I_{D_4[n_x]}$$

Numerical test (2)

$$I_{\tilde{D}_4[N]}/I_{\tilde{D}_4[\infty]} - \sum x^m \sigma_x I_{D_4[m]} \quad (z \rightarrow y \text{ として } x-y \text{ で展開})$$

